

## ویژگی های دندانی - استخوانی پسان و دختران ۸ تا ۱۳ ساله با مال اکلوژن کلاس دو زیر گروه یک در استان فارس؛ یک بررسی سفالومتریک

**پریسا صالحی\*** - **شهلا مؤمنی دانایی\***

\* استادیار گروه آموزشی ارتودنسی، دانشکده دندانپزشکی، دانشگاه علوم پزشکی و خدمات بهداشتی درمانی شیراز

### چکیده

**بیان مساله:** هدف نخستین هر ارتودنتیست، توصیف و تشخیص ناهنجاری دندانی فکی است، که وی خواستار درمان است. زیرا، که تشخیص می‌تواند اهداف درمان و در پایان، روش درمانی را برای هر بیمار آشکار سازد.

**هدف:** هدف از انجام این بررسی، تشرییح و اکاوی ویژگی های دندانی - استخوانی افراد ۸ تا ۱۳ ساله با مال اکلوژن کلاس دو زیر گروه یک در استان فارس در گروه های سنی خاص بوده است. افزون بر این، از ویژگی های این افراد می‌توان در بررسی های دیگر، که به بررسی روش های گوناگون درمانی این بیماران می‌پردازد، به عنوان گروه شاهد بهره جست.

**مواد و روش:** تصویرهای پرتونگاری سفالومتری جانبی ۶۹۳ فرد از استان فارس (۲۱۳ نفر با اکلوژن طبیعی به عنوان گروه شاهد، ۴۸۰ نفر با اکلوژن کلاس دو زیر گروه یک به عنوان گروه آزمون) مراجعه کننده به بخش ارتودنسی دانشکده دندانپزشکی دانشگاه علوم پزشکی شیراز (۱۳۸۱ تا ۱۳۸۳)، که با روش نمونه‌گیری ساده غیر تصادفی برگزیده شده بودند، فراهم گردید. این افراد، در دو گروه جنسی (پسر و دختر) و سه گروه سنی (۸ تا ۹ سال، ۱۰ تا ۱۱ سال و ۱۲ تا ۱۳ سال) قرار گرفتند. پس از تعیین ۳۵ شاخص سفالومتری و انتقال تصویرها به دستگاه کارتزین در رایانه به وسیله‌ی یک نرم افزار رایانه‌ای، ۳۶ مقیاس طولی و ۱۵ مقیاس زاویه‌ای اندازه‌گیری شد. اندازه‌گیری‌ها به ارزیابی نواحی قاعده‌ی جمجمه، رابطه‌ی جلوبی - پشتی و عمودی مأگزیلا و مندیبل نسبت به قاعده‌ی جمجمه، رابطه‌ی مأگزیلا و مندیبل و نیز، روابط دندانی اختصاص داشت. واکاوی آماری تی - تست مستقل (Independent t-test) برای دو گروه انجام شد و اندازه‌های به دست آمده مقایسه گردیدند.

**یافته‌ها:** از مقایسه‌ی داده‌ها، یافته‌های زیر به دست آمد: قاعده‌ی جلوبی در افراد کلاس دو زیر گروه یک نسبت به گروه طبیعی بزرگ‌تر بوده و جلوzdگی بیشتر نشان داد. مندیبل در این افراد، از نظر اندازه، کوچک‌تر و از لحاظ موقعیت، عقب‌تر از افراد گروه شاهد قرار داشت. فک بالا (در ناحیه‌ی کام و استخوان الونول) و دندان‌های آن (ثنایا و مولر) در گروه بیمار جلوتر واقع شده و این افزایش اندازه‌ی کام از بعد جلوبی - پشتی بیشتر در نیمه‌ی جلوبی آن (ANS-Max) مشاهده گردید. همچنین، چرخش به سمت بالا در نیمه‌ی جلوبی کام دیده شد. الگوی رشد عمودی و افزایش تحبد چهره در بیشتر افراد گروه بیمار، از یافته‌های آشکار این بررسی بود.

**نتیجه گیری:** مال اکلوژن کلاس دو زیر گروه یک در افراد مورد بررسی در نتیجه‌ی مجموعه‌ای از ناهنجاری‌های موجود در موقعیت و یا ابعاد قاعده‌ی جمجمه، مأگزیلا، مندیبل و تغییرات دندان‌ها به دست آمده است.

**وازگان کلیدی:** مال اکلوژن کلاس دو زیر گروه یک، ویژگی‌های دندانی - استخوانی، کودکان ۸ تا ۱۳ سال، استان فارس

تاریخ دریافت مقاله: ۸۵/۵/۱۴

تاریخ پذیرش مقاله: ۸۴/۴/۲۲

مجله دندانپزشکی دانشگاه علوم پزشکی شیراز. سال ششم؛ شماره ۳ و ۴، ۱۳۸۴، صفحه ۳۴ تا ۴۶

\* نویسنده مسؤول مکاتبات: پریسا صالحی. شیراز - خیابان قصردشت - دانشکده دندانپزشکی دانشگاه علوم پزشکی شیراز - گروه آموزشی

ارتدنسی - تلفن: ۰۷۱۱-۶۶۳۱۹۳-۴ Email: salehi\_pa@yahoo.com

**مقدمه**

ناهنجاری دخالت دارند. اما یافته‌های غالب، عقب بودن مندیبل است، که بر پایه‌ی اندازه‌گیری‌های سفالومتریک به دست آمده است<sup>(۱) و (۲)</sup>. کر (Kerr) و جان (Jehn) (۱۹۹۴) و نیز پانچرز (Pancherz) و همکاران (۱۹۹۷)<sup>(۳) و (۴)</sup> نشان دادند، که در مال اکلوژن کلاس دو زیر گروه یک، مندیبل در موقعیتی عقب‌تر به قاعده‌ی جمجمه مفصل شده است. روتشتاین (Rothstein) و یون (Yoon) (۲۰۰۰) دریافتند، که در افراد مبتلا به مال اکلوژن کلاس دو زیر گروه یک به SNB دلیل جلوتر قرار گرفتن نقطه‌ی نازیون (N)، زاویه کوچک تراز گروه شاهد است. با این وجود، بخش جلویی قاعده‌ی جمجمه، که معمولاً به علت بزرگی استخوان فرونگال و ماقریزا می‌تواند به عنوان یک عامل مؤثر در تشیدی مال اکلوژن کلاس دو زیر گروه یک مطرح گردد<sup>(۵)</sup>. با توجه به نارسایی‌های پژوهش‌هایی که در این زمینه انجام شده، از جمله، قابل اطمینان نبودن نتایج، به دلیل ناچیز بودن شماره نمونه‌ها، مخلوط بودن نمونه و نبودن محدودیت سنی و نژادی، قابل اعتماد نبودن برخی اندازه‌های زاویه‌ای برای تعیین موقعیت فک و در پایان، اشکال در ارتباط دادن نتایج بررسی‌ها، پژوهش کنونی برای اصلاح این نارسایی‌ها انجام گرفت. در این بررسی، اندازه‌گیری اجزای گوناگون چهره با یک روش رایانه‌ای در یک نمونه‌ی بزرگ ۶۹۳ نفری، در پیردارانده‌ی ۴۸۰ فرد مبتلا به کلاس دو زیر گروه یک و ۲۱۳ فرد کلاس یک و در سه گروه سنی (۸ تا ۹ سال، ۱۰ تا ۱۱ سال و ۱۲ تا ۱۳) انجام شده و هدف آن، تعیین ویژگی‌های استخوانی و دندانی افراد کلاس دو زیر گروه یک بود. افزون بر این، از آنجا که، تعیین هر گونه دیسپلازی و یا ویژگی‌های دندانی-استخوانی در افراد درمان شده، تنها پس از مقایسه‌ی آنها با ویژگی‌های دندانی-استخوانی گروه شاهد، یعنی گروهی با همان مال اکلوژن و در همان رده‌ی سنی، اما درمان نشده، امکان‌بزیر است، بنابراین گروه‌های تعیین شده در این بررسی، می‌تواند به عنوان گروه‌های شاهد در بررسی‌های دیگر، که به بررسی روش‌های درمانی متفاوت بر روی بیماران کلاس دو زیر گروه یک می‌پردازد، استفاده شود.

هدف نخستین هر ارتدنتیست، توصیف و تشخیص مال اکلوژنی است، که خود خواستار درمان آن است. زیرا، تشخیص می‌تواند اهداف درمان و سرانجام روش درمانی مورد نیاز را برای هر بیمار آشکار سازد. بنابراین، دانستن این، که آیا ناهنجاری اسکلتی، علت یک مال اکلوژن است و یا در ارتباط با آن، از اهمیتی ویژه برخوردار است. همچنین، جا و اندازه‌ی دیسپلازی، می‌تواند در تصمیم‌گیری‌های درمانی مانند، نیاز به کشیدن دندان، زمان درمان، درمان فانکشنالی و مداخله‌ی جراحی موثر باشد<sup>(۶)</sup>. افراد مبتلا به ناهنجاری کلاس دو زیر گروه یک، ممکن است به دلیل بی تنسیبی چهره، با مشکلات روحی-روانی و اجتماعی روبه رو گردند. از آنجا که، گاهی شیع پوسیدگی، مشکلات پریودنتال، ناهنجاری‌های گفتاری و مشکلات بلعی در این افراد بیشتر مشاهده می‌گردد<sup>(۷)</sup>، بنابراین، بررسی دریاره‌ی رویکردهای گوناگون این مال اکلوژن، از اهمیتی بسزا برخوردار است. بررسی های گوناگون نشان دهنده‌ی اهمیت و نقش سفالوگرام جانبی<sup>(۸) و (۹)</sup> در تشخیص افتراقی و حتی، تا اندازه‌ی در طراحی درمان این مال اکلوژن است. روبین (Rubin) (۱۹۷۷) اشاره کرده است، که برخی از اندازه‌گیری‌های سفالومتری در تشخیص آغازین دارای ارزش هستند و برخی در بررسی تغییرات، سودمند هستند<sup>(۱۰)</sup>. افزون بر این، استفاده از نرم افزارهای رایانه‌ای نیز، سبب آسانی در امر تشخیص گردیده است<sup>(۱۱)</sup>.

بیشارا (Bishara) (۱۹۹۸)، بیان کرده است، که در حدود دو سوم از بیماران کلاس دو زیر گروه یک به ناهنجاری‌های استخوانی دچار هستند<sup>(۱۲)</sup>. انگل (Angle) بر این باور بود، که رخداد مال اکلوژن کلاس دو، در نتیجه‌ی کوچک بودن یا تکامل نیافتن فک پایین و یا موقعیت خلفی آن است<sup>(۱۳)</sup>. بررسی‌های گوناگون، که برای تعیین علت اصلی این ناهنجاری در جمعیت‌های گوناگون انجام گرفته است، نشان داده است، که ویژگی‌هایی متفاوت از نارسایی در رشد مندیبل تا افزایش رشد ماقریزا، در ایجاد این

برای اندازه‌گیری ۱۵ عدد زاویه و ۳۶ عدد اندازه‌ی طولی، به تفکیک، در قاعده‌ی جمجمه، مندیبل، مانگزیلا، نواحی آلوئول و دندان‌ها تعیین شد. جدول ۲، نقاط غیر استاندارد مورد استفاده و تعریف آن‌ها را در بررسی نشان می‌دهد.

پس از تعیین نقاط، تریسینگ‌ها به گونه‌ای اسکن شدند، که نقطه‌ی سلا در کانون دستگاه کارترین واقع گردید. از این نقطه، محور X‌ها، موازی خط افقی کروگمن- واکر (Krogman- Waker) (۱۰) و محور Z‌ها، عمود بر این خط در نقطه‌ی سلا رسم گردید. این خط افقی با پیوند دو نقطه‌ی مانگزیلیون (Maxilon) (نقطه‌ی ۳۲، شکل ۱) و نقطه‌ی اسکیپتال (Occipital) (نقطه‌ی ۳۵، شکل ۱) رسم می‌شود. ماکسیلیون (Maxilon)، نقطه‌ای در زیر K-Ridge و در کانون لبه‌های بالایی و پایینی کام و نقطه‌ی اسکیپتال نیز، پایین ترین نقطه بر روی استخوان پس سری است. برای افزایش دقت، اندازه‌ی زاویه‌ها و خطوط مورد نیاز به وسیله‌ی یک نرم افزار رایانه‌ای (Photoshop.7) (7) دو بار اندازه‌گیری شد، که در هر دو بار، هیچ اختلافی دیده نشد. برای رفع خطای ناشی از اختلالات بزرگنمایی موجود در پرتونگاری، ضریب بزرگنمایی بر پایه‌ی معیار (Scale) موجود بر روی هر فیلم محاسبه گردید. داده‌های به دست آمده گردآوری و محاسبات آماری آزمون تی مستقل برای مقایسه‌ی گروه‌های بیمار و شاهد انجام شد.

### یافته‌ها

نتایج زیر، اندازه‌های را نشان می‌دهد، که در مقایسه‌ی شش زیر گروه دارای تفاوت‌های آشکار با گروه شاهد بودند. در برخی موارد نیز، تفاوت‌هایی آورده شده است که در سه گروه معنا دار بود. اندازه‌گیری‌ها به وسیله‌ی اعداد و حروف، در شکل ۲ و مقادیر اندازه‌گیری شده همراه با مقدار معناداری، در جداول ۳، ۴ و ۵ نشان داده شده است.

### مواد و روش

این بررسی مقطعی (Cross-sectional) بر روی ۶۹۳ بیمار مراجعه کننده به درمانگاه دندانپزشکی دانشگاه علوم پزشکی شیراز از نواحی گوناگون استان فارس در سال‌های ۱۳۸۱ تا ۱۳۸۳ انجام شد، که دارای مال اکلوژن کلاس دو بودند. در آغاز، ۵۹۰ نفر با ناهنجاری کلاس دو زیرگروه یک (زاویه‌ی تحبد چهره بیشتر از پنج درجه، برآمدگی بیشتر از ۴ درجه و رابطه‌ی کلاس دو دندان‌های مولر و کانین) برگزیده گردیدند. سپس، از میان این افراد، ۴۸۰ نفر با زاویه‌ی طبیعی FH-SN (۷ تا ۸ درجه)، دامنه‌ی سنی ۸ تا ۱۳ سال، نبود پیشینه‌ی درمان ارتودنسی، رویش همه‌ی دندان‌های دائم (جز مولر دوم و سوم)، کیفیت دلخواه پرتونگاری و نداشتن پیشینه‌ی بیماری و مشکلات پزشکی، برای بررسی در نظر گرفته شدند. در گروه شاهد نیز، ۲۱۳ نفر مانند گروه مورد بررسی، در آغاز بر پایه‌ی معاینه‌ی بالینی، بودن اکلوژن کلاس یک در دندان‌های مولر اول و کانین، کراودینگ کمتر از چهار میلی متر، نبود چرخش دندانی، نیمرخ و ANB=۲-۴°، Wits=۱±۱mm و Angle of convexity=۰-۵° از میان ۳۰۳ بیمار و یا همراهان آنان با دریافت اجازه برگزیده شدند. با توجه به استفاده از آزمون تی مستقل، به برابری حجم نمونه‌ها نیاز نبوده است. افراد گوناگون (گروه شاهد و آزمون)، برپایه‌ی جنس و سن، در دو گروه جنسی دختر و پسر و سه گروه سنی (۸ تا ۱۰، ۹ تا ۱۱ و ۱۲ تا ۱۳ سال) دسته‌بندی شدند (روی هم رفته، زیر گروه: شش گروه طبیعی و شش گروه کلاس دو زیرگروه یک) (جدول ۱).

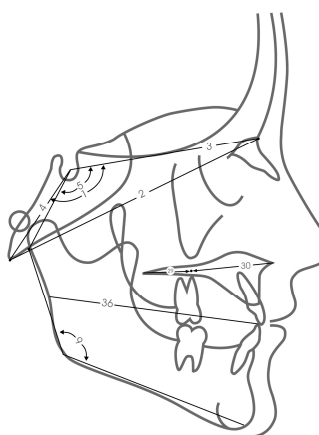
پرتونگاری‌های سفالومتری به وسیله‌ی دستگاه سفالوستات PM (Planmeca o-y KV=۸۵) و یک فنی ورز (تکنسین) واحد فراهم و سپس، ۳۵ نقطه (شکل ۱) بر روی عکس‌های سفالومتری افراد گوناگون

جدول ۱: شمار افراد و مقدار میانگین سن دختران و پسران در سه زیرگروه سنی در گروه های شاهد و کلاس دو زیرگروه یک

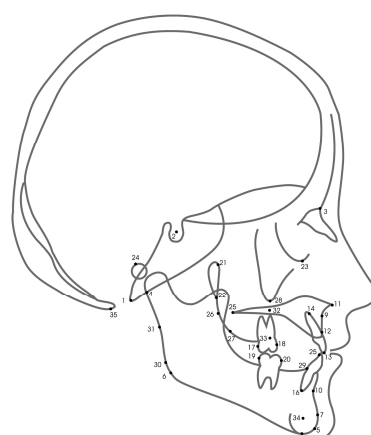
پسران		دختران		شاهد
شمار	میانگین سن	شمار	میانگین سن	
$8 \pm 4$ ماه	۲۹	$8 \pm 6$ ماه	۳۷	۹ تا ۸ سال
$10 \pm 6$ ماه	۳۱	$10 \pm 5$ ماه	۳۶	۱۱ تا ۱۰ سال
$12 \pm 5$ ماه	۴۸	$12 \pm 6$ ماه	۴۲	۱۳ تا ۱۲ سال
کلاس دو زیرگروه یک				
$8 \pm 5$ ماه	۷۶	$8 \pm 7$ ماه	۸۱	۹ تا ۸ سال
$10 \pm 5$ ماه	۷۹	$10 \pm 4$ ماه	۸۴	۱۱ تا ۱۰ سال
$12 \pm 6$ ماه	۷۷	$12 \pm 6$ ماه	۸۳	۱۳ تا ۱۲ سال

جدول ۲: صورت نقاط غیر استاندارد مورد استفاده در بررسی

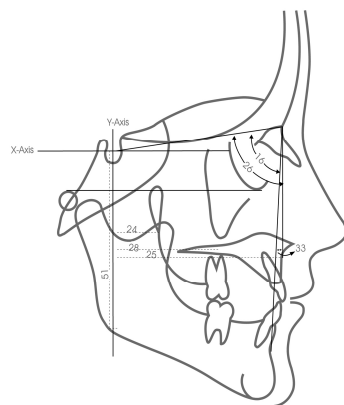
بر جسته ترین نقطه بر دیواره‌ی جلویی شیار تریکومگزیلاری	PTM1
بر جسته ترین نقطه بر دیواره‌ی پایینی شیار تریکومگزیلاری	PTM2
امتداد نقطه‌ی PNS بر دیواره‌ی پشتی ماگزیلا	Post PNS
پایینی-پشتی ترین نقطه بر دیواره‌ی ماگزیلا	Max Tub
جای تلاقی سطح لینگوال ثنایای پایینی با استخوان آلوئول	Point 29
پایینی-پشتی ترین نقطه بر دیواره‌ی پشتی راموس	Point 30
نقطه‌ی مرکزی در دیواره‌ی بیرونی راموس	Mid Rmpt
نقطه‌ای در راستای K-ridge در مرکز ضخامت کام	Maxillon
تصویر K-ridge بر پلن آلوئول فک بالا	Point 33
پایین ترین نقطه بر روی استخوان پس سری	Occipitalle



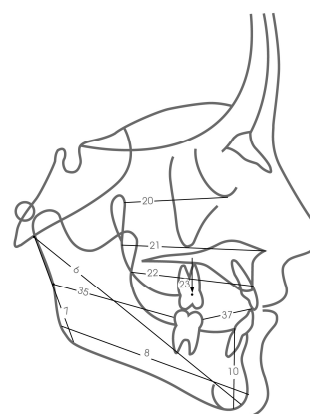
شکل ۲-۳: تصویر اندازه‌گیری‌های خطی ۲, ۳, ۴, ۲۹, ۳۰, ۳۶ و زاویه‌ای: ۱, ۵, ۹



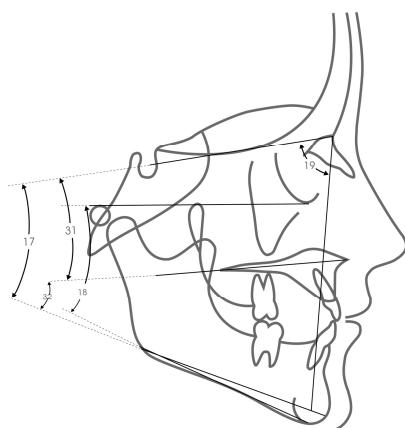
شکل ۱: نمای شمانیک نقاط مورد استفاده برای ارزیابی سفالومتری



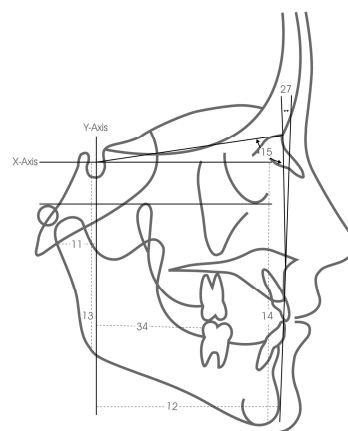
شکل C-۲: تصویر اندازه‌گیری‌های خطی: ۲۴, ۲۵, ۵۱ و زاویه‌ای ۲۸, ۲۶, ۳۳



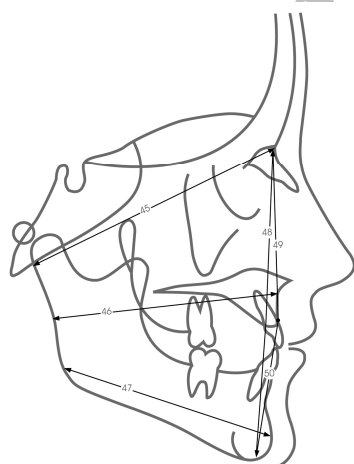
شکل B-۲: تصویر اندازه‌گیری‌های خطی: ۷, ۸, ۱۰, ۲۰, ۲۱, ۲۲, ۲۳, ۳۵, ۳۷



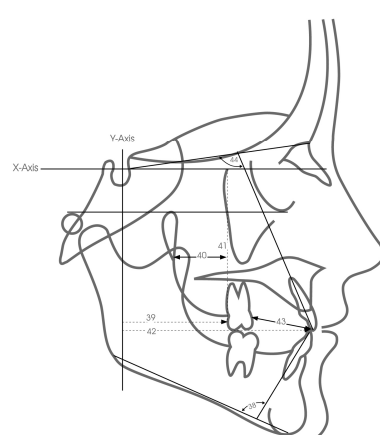
شکل E-۲: تصویر اندازه‌گیری‌های زاویه‌ای: ۱۷, ۱۸, ۱۹, ۳۱, ۳۲



شکل D-۲: تصویر اندازه‌گیری‌های خطی: ۱۱, ۱۲, ۱۳, ۱۴, ۳۴ و زاویه‌ای ۱۵, ۲۷



شکل G-۲: تصویر اندازه‌گیری‌های خطی: ۴۵, ۴۶, ۴۷, ۴۸, ۴۹, ۵۰



شکل F-۲: تصویر اندازه‌گیری‌های خطی: ۳۸, ۴۴, ۳۹, ۴۰, ۴۱, ۴۲, ۴۳ و زاویه‌ای: ۴۴

کلاس دو زیرگروه یک، بجز زیر گروه دختران ۱۰ تا ۱۱ سال، نسبت به گروه شاهد افزایش نشان داد ( $A_1$  و  $A_2$ ).

**کرانیوم**  
خمیدگی قاعده‌ی جمجمه در همه‌ی زیرگروه‌های

### روابط دندانی در مندیبل

تغییراتی آشکار در فاصله‌ی میان مولر تا انسیزور (B<sub>37</sub>) در هیچ یک از زیرگروه‌ها، بجز زیر گروه پسر ۱۲ تا ۱۳ ساله (افزایش به اندازه‌ی ۵/۰ میلی‌متر) مشاهده نگردید. افزایش زاویه‌ی IMPA (F<sub>38</sub>) در نیمی از گروه‌ها معنادار بود. این افزایش در دختران ۱۰ تا ۱۱ ساله، به اندازه‌ی ۲/۳ درجه و در دختران و پسران ۱۲ تا ۱۳ ساله، به ترتیب ۱/۷ و ۱/۵ درجه بوده است.

### روابط دندانی در ماگزیلا

افزایشی معنادار در اندازه‌گیری‌های خطی و زاویه‌ای (F<sub>39</sub>-F<sub>44</sub>) مشاهده گردید. این افزایش، به ویژه در فاصله‌ی میان مولر نخست تا ثانیای میانی فک بالا با حداقل ۳ میلی‌متر در گروه پسران ۱۲ تا ۱۳ ساله و حداقل ۱/۵ میلی‌متر در گروه دختران ۸ تا ۹ و ۱۰ تا ۱۱ ساله و نیز، فاصله میان ثانیای بالا تا نقطه‌ی S با حداقل ۵ میلی‌متر در دختران ۱۱ تا ۱۰ و حداقل ۲ تا ۹ میلی‌متر در گروه پسران ۱۰ تا ۱۱ و ۱۲ تا ۱۳ ساله معنادار بود.

### ارتفاع و عمق چهره

افزایش اندازه‌ی بخش‌های بالایی عمق چهره (G<sub>45</sub>) در بیشتر زیر گروه‌ها و افزایش اندازه‌ی بخش میانی عمق چهره (G<sub>46</sub>)، تنها در زیر گروه پسر ۱۲ تا ۱۳ و ۱۰ تا ۱۱ ساله مشاهده گردید، اما بخش پایینی چهره (G<sub>47</sub>) در نیمی از زیر گروه‌ها، به ویژه در گروه پسر ۱۰ تا ۱۱ ساله کاهشی معنادار، به اندازه‌ی دو میلی‌متر را نشان داد. افزایش ارتفاع چهره (G<sub>48</sub>) در زیر گروه‌های نشان داد. افزایش ارتفاع چهره (G<sub>49</sub>) در دختران ۱۲ تا ۱۳ ساله (در دختران ۴/۱ میلی‌متر و در پسران ۳/۵ میلی‌متر) معنادارتر بود. افزایش ارتفاع نیمه‌ی بالایی بخش جلویی چهره (G<sub>50</sub>) در زیر گروه‌های پسر و دختر ۱۰ تا ۱۲ ساله، به ترتیب ۱/۸ و ۱/۶ میلی‌متر و دختر ۱۰ تا ۱۱ ساله، به اندازه‌ی ۷/۱ میلی‌متر دیده شد. همچنین، افزایش نیمه‌ی پایینی بخش جلویی چهره (G<sub>50</sub>) در بیشتر زیر گروه‌ها با حداقل سه میلی‌متر در زیر گروه پسر ۹ تا ۸ ساله و حداقل ۱/۸ میلی‌متر در زیر گروه دختر ۸ تا ۹ ساله، کاهش ارتفاع در بخش ساله معنادار بود. در حالی که، کاهش ارتفاع در بخش پشتی (C<sub>51</sub>)، تنها در زیر گروه پسر ۱۰ تا ۱۱ و ۱۲ تا ۱۳ ساله، به اندازه‌ی ۱/۳/۶ میلی‌متر، معنادار بوده است. افزایشی معنادار G<sub>46</sub> در زیر گروه پسر ۱۰ تا ۱۱ و ۱۲ تا ۱۳ ساله، می‌تواند با کاهش ارتفاع در بخش پشتی (C<sub>51</sub>) در این دو گروه، موقعیت پایینی گونیون را توجیه کند.

### طول قاعده‌ی جمجمه

طول قاعده‌ی جلویی (A<sub>3</sub>)، بجز در گروه دختران ۱۰ تا ۱۱ و پسران ۱۲ تا ۱۳ ساله در دیگر گروه‌ها افزایش نشان داد. طول قاعده‌ی پشتی جمجمه (A<sub>4</sub>)، تنها در گروه پسران ۱۲ تا ۱۳ ساله افزایشی معنادار داشت. زاویه‌ی قاعده (A<sub>5</sub>) در بیشتر زیر گروه‌ها افزایشی میان ۱/۸ تا ۲/۳ درجه را نشان داد (بجز در گروه دختران ۱۰ تا ۱۱ و پسران ۱۲ تا ۱۳ ساله).

### مندیبل

کاهش طول کلی مندیبل (B<sub>6</sub>) در همه‌ی زیر گروه‌های کلاس دو، بجز زیر گروه‌های ۱۰ تا ۱۱ ساله مشاهده گردید، اما این کاهش، تنها در زیر گروه‌های دختر و پسر ۱۲ تا ۱۳ ساله تغییراتی چشمگیر داشته است. این کاهش به اندازه‌ی ۱/۸ میلی‌متر در دختران و چهار میلی‌متر در پسران اندازه‌گیری شد. نقاط B و Pog در بیشتر زیر گروه‌ها به گونه‌ای آشکار عقب قرار گرفته بودند.

### ماگزیلا

افزایش طول ماگزیلا در ناحیه‌ی کام (B<sub>21</sub>) در بیشتر زیر گروه‌ها معنادار بود. در حالی که، این طول در ناحیه‌ی استخوان آلوئل (B<sub>22</sub>)، تنها در زیر گروه‌های دختر و پسر ۱۲ تا ۱۳ ساله و با افزایش ۴/۱ میلی‌متر در دختران و ۱/۷ میلی‌متر در پسران و زیر گروه پسر ۱۰ تا ۱۱ ساله (به اندازه‌ی ۲/۲ میلی‌متر) معنادار بوده است. افزایش زاویه (C<sub>26</sub>)، تنها در زیر گروه‌های ۱۲ تا ۱۳ ساله (به اندازه ۷/۰ درجه در دختران و ۲/۸ درجه در پسران)، اما افزایش تحدب چهره (D<sub>27</sub>) در بیشتر زیر گروه‌ها، معنادار بوده است.

### ماگزیلا - Key ridge

رابطه‌ی جلویی - پشتی (C<sub>28</sub>) Key-ridge در مقایسه با گروه شاهد، تفاوتی نشان نداد.

### ماگزیلا - کام

تغییرات کاهش شبک کام نسبت به قاعده‌ی جمجمه (E<sub>31</sub>) در بیشتر زیر گروه‌ها و افزایش زاویه‌ی بازال (Basal) در زیر گروه‌های دختر و پسر ۱۲ تا ۱۳ ساله، به اندازه ۱/۱ درجه در دختران و ۱/۹ درجه در پسران و گروه پسر ۱۱ تا ۱۱ ساله (به اندازه ۷/۱ درجه)، معنادار بود، که می‌تواند چرخش بخش جلو کام را به سمت بالا نشان دهد.

### ماگزیلا - مندیبل

افزایش زاویه‌ی (C<sub>33</sub>) ANB از ۱/۵ تا ۳/۳ درجه، در بیشتر زیر گروه‌ها به گونه‌ای آشکار معنادار بود.

جدول ۳: میانگین و انحراف استاندارد مربوط به گروه های آزمون شاهد پسر و دختر ۱ تا ۹ ساله

متغیر	تعریف	شكل	پسر ۸-۹ سال				دختر ۸-۹ سال			
			گروه شاهد	گروه آزمون	P	مقدار	گروه شاهد	گروه آزمون	P	مقدار
<b>Number Cranial base</b>										
Flexure (angle)	Ba-S-N	A1	۱۲۸/۸ ± ۴/۷	۱۳۱/۱ ± ۴/۴	-/- .۱**	۱۲۸ ± ۴/۲	۱۳۰/۹ ± ۴/۸	-/- .۰۹**		
Total length	Ba-N	A2	۹۸ ± ۲/۷	۱۰۳/۹ ± ۴/۵	-/- .۰۱***	۹۹/۶ ± ۴/۹	۱۰۱/۴ ± ۵	-/- .۰۸*		
Anterior length	S-N	A3	۶۷/۶ ± ۲/۲	۶۶/۶ ± ۲/۳	-/- .۰۴**	۶۶/۵ ± ۲/۵	۶۸/۱ ± ۲/۲	-/- .۰۱**		
Posterior length	Ba-S	A4	۲۴/۷ ± ۲/۱	۲۵/۲ ± ۲/۳	-/- .۰۱	۲۴/۴ ± ۲/۳	۲۴/۸ ± ۲/۲	-/- .۰۵		
Saddle angle	N-S-Ar	A5	۱۱۹/۸ ± ۴/۳	۱۲۱/۶ ± ۴/۲	-/- .۰۴*	۱۱۸/۵ ± ۴/۶	۱۲۰/۶ ± ۴/۸	-/- .۰۳*		
<b>Mandible</b>										
Overall length	Ar-Gn	B6	۹۸/۴ ± ۵/۲	۹۷/۶ ± ۵/۱	-/- .۰۴	۹۶/۱ ± ۵/۴	۹۵/۲ ± ۴/۶	-/- .۰۳۶		
Ramal height	Ar-GO	B7	۳۴/۷ ± ۲/۰	۳۸/۸ ± ۲/۶	-/- .۰۶۹	۳۷/۷ ± ۲/۰	۳۵/۸ ± ۲/۴	-/- .۰۰۷		
Corporal length	30-Pog	B8	۷۷/۲ ± ۲/۴	۷۶/۳ ± ۲/۳	-/- .۰۲۱	۷۵/۲ ± ۵/۳	۷۴/۳ ± ۴/۸	-/- .۰۳۷		
Ramo-Corporal angle	Ar-Go-Gn	A9	۱۳۰/۴ ± ۴/۸	۱۳۱/۹ ± ۴/۷	-/- .۰۱۲	۱۳۰/۴ ± ۵/۱	۱۳۱/۲ ± ۵/۲	-/- .۰۴۵		
Syphysis height	Me-29	B10	۲۹/۸ ± ۴/۳	۳۰/۹ ± ۴/۵	-/- .۰۲۳	۲۷/۲ ± ۲/۷	۲۸/۴ ± ۲/۵	-/- .۰۰۹		
<b>AP relationship to sella:</b>										
Posterior mandible	Ar-S	D11	۱۷/۸ ± ۲/۷	۱۷/۸ ± ۲/۳	-/- .۰۱*	۱۲/۸ ± ۲/۲	۱۷/۱ ± ۲/۲	-/- .۰۴۶		
Anterior mandible	S-Pog	D12	۵۶/۷ ± ۵/۹	۵۵/۷ ± ۴/۷	-/- .۰۵۷	۵۴/۳ ± ۵/۳	۵۴/۲ ± ۴/۶	-/- .۰۹۱		
<b>Vertical relation to sella:</b>										
Posterior mandible	S-Go	D13	۶۸/۰ ± ۲/۷	۶۶/۶ ± ۲/۶	-/- .۰۱**	۶۴/۰ ± ۴/۲	۶۳/۷ ± ۴/۲	-/- .۰۳۵		
Anterior mandible	S-Gn	D14	۱۰۱/۴ ± ۲/۹	۱۰۲/۴ ± ۴/۶	-/- .۰۲۷	۹۷/۸ ± ۲/۰	۹۷/۶ ± ۴/۸	-/- .۰۱۸۴		
AP relationship of pog to ACB	S-N-Pog	D15	۷۷/۶ ± ۲/۹	۷۳/۶ ± ۲/۱	-/- .۰۲۶	۷۸/۹ ± ۲/۴	۷۷/۸ ± ۲/۴	-/- .۰۱۸		
AP relationship of point B to ACB	S-N-B	C16	۷۷/۱ ± ۲/۴	۷۶/۱ ± ۲/۸	-/- .۰۱	۷۸/۱ ± ۲/۴	۷۷/۲ ± ۲/۳	-/- .۰۰۶		
Slope in relation to ACB	[S-N]-[Go-Gn]	E17	۷۷/۱ ± ۲/۹	۷۳/۱ ± ۲/۷	-/- .۰۶۴	۷۳/۶ ± ۲/۱	۷۲/۹ ± ۲/۴	-/- .۰۱۳		
Slope in relation to Frankfort plane	[Or-Po]-[Me-Go]	E18	۷۷/۰ ± ۲/۲	۷۴/۹ ± ۲/۲	-/- .۰۱**	۷۲/۱ ± ۲/۱	۷۴/۱ ± ۲	-/- .۰۱۱		
AP relationship of point D to ACB	S-N-D	E19	۶۸/۸ ± ۲/۲	۶۷/۸ ± ۲/۲	-/- .۰۱*	۶۹/۰ ± ۲/۲	۶۹/۴ ± ۲/۶	-/- .۰۰۶		
<b>Maxilla</b>										
<i>Overall length at the level of:</i>										
Orbit	Ptm <sub>1</sub> -Or	B20	۴۴/۰ ± ۲/۸	۴۴/۷ ± ۲/۲	-/- .۰۱۹	۴۲/۲ ± ۲	۴۲/۷ ± ۲/۴	-/- .۰۴۵		
Palate	Ptm <sub>2</sub> -ANS	B21	۵۷/۲ ± ۲/۷	۵۷/۳ ± ۲/۲	-/- .۰۱۸	۵۰/۱ ± ۲/۸	۵۰/۱ ± ۲/۴	-/- .۰۷۷		
Alveolus	Max tub-Pr	B22	۴۸/۸ ± ۲/۴	۴۹/۸ ± ۲/۲	-/- .۰۳	۴۶/۸ ± ۴/۲	۴۷/۸ ± ۲/۸	-/- .۰۴۵		
Palato-alveolar height	Max-33	B23	۱۱/۷ ± ۲/۹	۱۲/۱ ± ۲/۶	-/- .۰۱**	۱۰/۳ ± ۲	۱۱/۷ ± ۲/۳	-/- .۰۰۵		
Sella to posterior margin of maxilla	S-Ptm <sub>2</sub>	C24	۱۸/۱ ± ۲/۲	۱۸/۹ ± ۲/۴	-/- .۰۲۴	۱۷/۳ ± ۲/۹	۱۷/۸ ± ۲/۶	-/- .۰۳۶		
Sella to anterior margin at midface	S-A	C25	۶۵/۰ ± ۲/۷	۶۵/۰ ± ۲/۵	-/- .۰۱۸	۶۴/۸ ± ۴/۳	۶۵/۰ ± ۲/۷	-/- .۰۳۱		
AP relation of midface to ACB	S-N-A	C26	۱۱/۰ ± ۲/۸	۱۱/۷ ± ۱/۰	-/- .۰۱۱	۱۰/۴ ± ۲/۵	۱۰/۱ ± ۲/۲	-/- .۰۲۰		
Mid facial convexity	N-A-Pog	D27	۱۰/۴ ± ۲/۵	۱۱/۲ ± ۴/۸	-/- .۰۱۱	۱۰/۷ ± ۶/۲	۹/۸ ± ۴/۸	-/- .۰۴۲		
AP relationship of key ridge to sella	S-Max	C28	۷۹/۷ ± ۲/۴	۷۴/۷ ± ۲/۹	-/- .۰۱۴	۷۹/۷ ± ۴/۱	۷۴/۱ ± ۴/۴	-/- .۰۴۴		
AP relationship of key ridge to post max margin	PNS-Max	A29	۲۱/۹ ± ۲/۸	۲۲/۷ ± ۲/۹	-/- .۰۱۸	۲۱/۱ ± ۲/۹	۲۱/۰ ± ۲/۴	-/- .۰۲۷		
Length of anterior moiety of palate	Max-ANS	A30	۶۹/۸ ± ۲/۳	۷۰/۰ ± ۲/۲	-/- .۰۱	۶۶/۶ ± ۲/۵	۶۷/۲ ± ۲/۷	-/- .۰۱۱		
Slope of palate in relation to ACB	[S-N]-[PNS-ANS]	E31	۱۶/۴ ± ۲/۸	۱۵/۳ ± ۴/۹	-/- .۰۱۴	۱۴/۲ ± ۴/۰	۱۴/۲ ± ۴/۲	-/- .۰۰۸		
Palato mandibular plane angle	[PNS-ANS]-[Go-Gn]	E32	۷۷/۶ ± ۲/۲	۷۴/۸ ± ۲/۲	-/- .۰۱۴	۷۲/۰ ± ۲/۴	۷۲/۰ ± ۲/۳	-/- .۰۰۶		
Maxilla- Mandible	ANB	C33	۲/۰ ± ۲/۶	۴/۴ ± ۲/۲	-/- .۰۰۱	۲/۴ ± ۲	۳/۹ ± ۸	-/- .۰۰۱***		
<b>AP alveolar discrepancy</b>										
<b>Dentition</b>										
<i>Mandible to mandibular molar:</i>										
AP relationship to sella	S-DL6	D34	۱۷/۸ ± ۲/۸	۱۸/۰ ± ۴/۰	-/- .۰۱۲	۱۲/۸ ± ۴/۲	۱۷/۸ ± ۲/۷	-/- .۰۴۶		
AP relationship to mid-ramal margin	Mid RmPt-DL6	B35	۴۱/۱ ± ۲/۹	۴۱/۴ ± ۴/۰	-/- .۰۱۲	۳۸/۱ ± ۴/۴	۳۷/۸ ± ۴/۷	-/- .۰۷۴		
Mandible to mandibular incisor	Mid RmPt-L1	A36	۷۶/۸ ± ۲/۸	۷۷/۶ ± ۴/۴	-/- .۰۱۳	۷۵/۰ ± ۴/۹	۷۶/۴ ± ۴/۵	-/- .۰۴۵		
AP relation ship to mid- ramal margin	ML6-L1	B37	۲۸/۸ ± ۲/۲	۲۸/۰ ± ۲/۶	-/- .۰۱۹	۲۶/۲ ± ۲/۲	۲۶/۷ ± ۲/۴	-/- .۰۲۶		
Molar/incisor separation	[L1-16]-[Go-Me]	F38	۹/۵/۱ ± ۲/۱	۹/۵/۸ ± ۲/۷	-/- .۰۱۱	۹/۳/۴ ± ۴/۷	۹/۰/۶ ± ۴/۱	-/- .۰۱		
Inclination	<i>Maxilla to maxillary molar:</i>									
AP relationship to sella	S-DU6	F39	۲۸/۱ ± ۴/۳	۲۹/۰ ± ۴/۱	-/- .۰۱۸	۲۸/۷ ± ۴/۴	۲۹/۸ ± ۴/۷	-/- .۰۱۸		
AP relationship to post max margin	Ptm <sub>2</sub> -DU6	F40	۶/۸ ± ۲/۶	۷/۱/۱ ± ۲/۷	-/- .۰۱۲*	۶/۶ ± ۲/۶	۸/۴ ± ۲/۲	-/- .۰۰۸*		
Vertical height from sella	S-DU6	F41	۵۷/۷/۱ ± ۲/۶	۵۹/۰/۵ ± ۲/۴	-/- .۰۱۷**	۵۵/۱ ± ۲/۷	۵۶/۷/۲ ± ۲/۳	-/- .۰۰۷**		
<i>Maxilla to maxillary incisor</i>										
AP relationship to sella	S-U1	F42	۷/۱/۰ ± ۴/۶	۷/۴/۶ ± ۲/۱	-/- .۰۱۱***	۶/۹/۳ ± ۴/۸	۷/۲/۳ ± ۴/۸	-/- .۰۰۱***		
Molar/ incisor separation	MU6-U1	F43	۲۲/۷/۱ ± ۲/۵	۲۴/۰/۲ ± ۲/۹	-/- .۰۱۱***	۲۴/۰/۴ ± ۲/۶	۲۳/۹/۱ ± ۲/۵	-/- .۰۰۴**		
Inclination in rel to ACB	[U1-14]-[S-N]	F44	۱۰/۴/۲ ± ۵/۸	۱۰/۰/۸ ± ۵/۹	-/- .۰۱۵	۱۰/۴/۰ ± ۵/۲	۱۰/۵/۴ ± ۵/۵	-/- .۰۱		
<b>Facial depth</b>										
Upper	Ar-N	G45	۸/۷/۹ ± ۴/۲	۸/۹/۳ ± ۴/۱	-/- .۰۱۱	۸/۶/۰ ± ۴/۲	۸/۸/۰ ± ۴/۶	-/- .۰۱۱**		
Middle	Mid RmPt-A	G46	۷/۷/۸ ± ۴/۲	۷/۷/۹ ± ۴/۶	-/- .۰۲۲	۷/۲/۲ ± ۴/۶	۷/۲/۳ ± ۴/۳	-/- .۰۲۱		
Lower	30-Pog	G47	۷/۷/۶ ± ۴/۶	۷/۵/۶ ± ۴/۳	-/- .۰۱۲*	۷/۲ ± ۳/۸	۷/۷/۲ ± ۵/۲	-/- .۰۱۸		
Total anterior height	N-Me	G48	۱۱/۱ ± ۵/۶	۱۱/۴/۴ ± ۵	-/- .۰۱۲**	۱/۸/۱ ± ۵/۰	۱۱/۰/۲ ± ۵/۲	-/- .۰۱۳*		
Upper anterior height	N-Pr	G49	۶/۷/۱ ± ۲/۰	۶/۷/۶ ± ۲/۴	-/- .۰۱۸	۶/۶/۲ ± ۴/۶	۶/۵/۴ ± ۴/۱	-/- .۰۱۶		
Lower anterior height	Pr-Me	G50	۴/۷/۰ ± ۴/۱	۵/۰/۰ ± ۴/۸	-/- .۰۱۱***	۴/۶/۰ ± ۴/۸	۴/۶/۸ ± ۴/۲	-/- .۰۱۳*		
Total posterior height	S-Go	C51	۶/۸/۴ ± ۲/۰	۶/۷/۱ ± ۲/۶	-/- .۰۱۷	۶/۵/۳ ± ۴/۰	۶/۵/۰ ± ۴/۳	-/- .۰۱۵		

\* P&lt;0.05 \*\* P&lt;0.01 , \*\*\*P&lt;0.001

جدول ۴: میانگین و انحراف استاندارد مربوط به گروه های آزمون و شاهد پسر و دختر ۱۰ تا ۱۳ ساله

متغیر	تعریف	شکل	گروه شاهد	پسر ۱۰-۱۱ سال		دختر ۱۰-۱۱ سال	
				گروه آزمون	مقدار P	گروه شاهد	گروه آزمون
<b>Number Cranial base</b>							
Flexure (angle)	Ba-S-N	A1	۱۲۹/۱ ± ۵/۱	۱۲۱/۷ ± ۵	./.۰۰۵**	۱۲۹/۱ ± ۵	۱۳۰/۹ ± ۴/۸
Total length	Ba-N	A2	۱۰۲/۸ ± ۳/۲	۱۰۷/۵ ± ۴/۴	./.۰۰۱***	۱۰۱/۱ ± ۴/۷	۱۰۲/۸ ± ۴/۸
Anterior length	S-N	A3	۵۹/۶ ± ۲/۸	۷۷/۶ ± ۳/۰	./.۰۲*	۶۷/۱ ± ۲/۸	۶۷/۷ ± ۲/۷
Posterior length	Ba-S	A4	۲۳/۵ ± ۲/۷	۲۴/۵ ± ۲/۳	./.۰۸	۲۲/۷ ± ۲/۲	۲۳ ± ۳
Saddle angle	N-S-Ar	A5	۱۱۹/۶ ± ۶/۵	۱۲۱/۸ ± ۴/۵	./.۰۴**	۱۱۹ ± ۴/۲	۱۲۱/۱ ± ۶
<b>Mandible</b>							
Overall length	Ar-Gn	B6	۱۰۵/۱ ± ۴/۵	۹۹/۶ ± ۴/۸	./.۰۰۱**	۹۸/۱ ± ۵/۱	۹۵/۵ ± ۴/۷
Ramal height	Ar-GO	B7	۳۹/۶ ± ۲/۷	۳۷/۳ ± ۲/۷	./.۰۱*	۳۶/۶ ± ۴/۱	۳۵/۵ ± ۳/۹
Corporal length	30-Pog	B8	۷۷/۵ ± ۵/۲	۷۵/۳ ± ۴/۷	./.۰۱**	۷۵/۱ ± ۴/۷	۷۳/۵ ± ۳/۸
Ramo-Corporal angle	Ar-Go-Gn	A9	۱۱۹/۱ ± ۴/۹	۱۲۹/۴ ± ۴/۵	./.۰۷	۱۲۸/۷ ± ۵/۷	۱۲۸/۹ ± ۵/۳
Sympyseal height	Me-29	B10	۳۲/۴ ± ۶/۴	۳۴/۵ ± ۵/۱	./.۰۴	۲۹/۶ ± ۳/۹	۳۲/۴ ± ۳/۶
<b>AP relationship to sella:</b>							
Posterior mandible	Ar-S	D11	۱۳۴ ± ۴/۷	۱۴۹ ± ۴	./.۰۵**	۱۳۱ ± ۴/۴	۱۳۵ ± ۴/۶
Anterior mandible	S-Pog	D12	۵۷/۲ ± ۵/۲	۵۷/۳ ± ۴/۷	./.۰۲	۵۵/۱ ± ۵/۷	۵۳/۴ ± ۴/۹
<b>Vertical relation to sella:</b>							
Posterior mandible	S-Go	D13	۷۰/۶ ± ۴/۶	۷۰/۱ ± ۳/۸	./.۰۴	۶۵/۹ ± ۳/۸	۶۴/۹ ± ۳/۷
Anterior mandible	S-Gn	D14	۱۰۲/۸ ± ۵/۲	۱۰۳/۹ ± ۴/۳	./.۰۷	۹۶/۸ ± ۴/۸	۹۸/۱ ± ۴/۴
AP relationship of pog to ACB	S-N-Pog	D15	۷۷/۱ ± ۳/۷	۷۵/۴ ± ۳/۴	./.۰۰۷**	۷۸/۱ ± ۲/۷	۷۵/۵ ± ۳/۱
AP relationship of point B to ACB	S-N-B	C16	۷۶/۰ ± ۲/۷	۷۳/۳ ± ۲/۴	./.۰۰۱***	۷۶/۸ ± ۳/۲	۷۴/۳ ± ۳/۸
Slope in relation to ACB	[S-N]-[Go-Gn]	E17	۲۱/۴ ± ۴	۲۲/۷ ± ۲/۷	./.۰۳*	۲۱/۶ ± ۲/۶	۲۲/۷ ± ۲/۵
Slope in relation to Frankfort plane	[Or-Po]-[Me-Go]	E18	۲۳/۸ ± ۲/۸	۲۵/۱ ± ۲/۸	./.۰۳*	۲۳/۵ ± ۲/۴	۲۴/۴ ± ۲/۶
AP relationship of point D to ACB	S-N-D	E19	۶۹/۴ ± ۲/۵	۶۸/۳ ± ۲/۴	./.۰۰۱***	۶۹/۷ ± ۳/۳	۶۷/۶ ± ۲/۷
<b>Maxilla</b>							
<b>Overall length at the level of:</b>							
Orbit	Ptm <sub>1</sub> -Or	B20	۳۴/۱ ± ۲/۱	۳۴/۸ ± ۲/۹	./.۱۹	۳۳/۴ ± ۲/۴	۳۲/۹ ± ۲/۵
Palate	Ptm <sub>2</sub> -ANS	B21	۵۲/۳ ± ۴	۵۶/۱ ± ۳/۸	./.۰۰۱***	۵۰/۵ ± ۳/۱	۵۰/۹ ± ۳/۵
Alveolus	Max tub-Pr	B22	۴۸/۱/۱ ± ۳/۶	۵۱/۱/۱ ± ۳/۸	./.۰۰۱***	۴۶/۴ ± ۳/۶	۴۷/۵ ± ۳/۴
Palato-alveolar height	Max-33	B23	۱۴/۸ ± ۲/۷	۱۵/۲ ± ۲/۵	./.۰۳	۱۲/۸ ± ۲/۷	۱۳/۴ ± ۲/۷
Sella to posterior margin of maxilla	S-Ptm <sub>2</sub>	C24	۱۸/۸ ± ۲/۵	۱۹/۹ ± ۲/۹	./.۱۱	۱۷/۹ ± ۳/۸	۱۸/۲ ± ۲/۸
Sella to anterior margin at midface	S-A	C25	۶۶/۷ ± ۴/۶	۶۷/۳ ± ۳/۸	./.۰۴	۶۴/۷ ± ۴/۵	۶۵/۵ ± ۴/۳
AP relation of midface to ACB	S-N-A	C26	۸۱/۹ ± ۲/۲	۸۲/۵ ± ۲/۶	./.۱۸	۸۱/۱ ± ۲/۳	۸۱/۸ ± ۲/۴
Mid facial convexity	N-A-Pog	D27	۷/۴ ± ۴/۲	۱۱/۱ ± ۴/۴	./.۰۰۱***	۵/۷ ± ۴/۱	۶/۷ ± ۴/۳
AP relationship of key ridge to sella	S-Max	C28	۴۱/۰ ± ۲/۰	۴۲/۷ ± ۲/۶	./.۰۶	۴۰/۱ ± ۴/۲	۴۱/۰ ± ۲/۷
AP relationship of key ridge to post max margin	PNS-Max	A29	۲۱/۴ ± ۲/۴	۲۲/۱ ± ۲/۶	./.۲۱	۱۸/۸ ± ۲/۵	۱۹/۶ ± ۲/۴
Length of anterior moiety of palate	Max-ANS	A30	۲۷/۹ ± ۲/۷	۳۰/۶ ± ۴/۲	./.۰۰۱***	۲۵/۹ ± ۳/۶	۲۶/۵ ± ۳/۴
Slope of palate in relation to ACB	[S-N]-[PNS-ANS]	E31	۱۵/۴ ± ۴	۱۳/۹ ± ۳/۸	./.۰۴	۱۴/۹ ± ۴/۷	۱۲/۷ ± ۴/۲
Palato mandibular plane angle	[PNS-ANS]-[Go-Gn]	E32	۲۲/۹ ± ۲/۰	۲۴/۵ ± ۳	./.۰۰۳**	۲۲/۴ ± ۲/۶	۲۳/۱ ± ۲/۴
Maxilla- Mandible	ANB	C33	۲/۱ ± ۲/۳	۵/۵ ± ۱/۶	./.۰۰۱***	۲/۷ ± ۲/۵	۵/۶ ± ۲
<b>AP alveolar discrepancy</b>							
<b>Dentition</b>							
<b>Mandible to mandibular molar:</b>							
AP relationship to sella	S-DL6	D34	۳۰/۹ ± ۲/۰	۳۰/۰ ± ۴/۶	./.۱۶	۲۸/۰ ± ۴/۷	۲۷/۶ ± ۲/۴
AP relationship to mid-ramal margin	Mid RmPt-DL6	B35	۴۱/۱ ± ۲/۲	۴۰/۱ ± ۵	./.۲۸	۳۷/۱/۱ ± ۴/۳	۳۷/۵ ± ۴/۲
<b>Mandible to mandibular incisor</b>							
AP relationship to mid- ramal margin	Mid RmPt-L1	A36	۷۸/۴ ± ۴/۷	۷۸/۷ ± ۵/۰	./.۰۸	۷۵/۷ ± ۴/۶	۷۶/۳ ± ۳/۸
Molar/incisor separation	ML6-L1	B37	۲۸/۳ ± ۲/۶	۲۸/۹ ± ۳/۰	./.۱۹	۲۶/۸ ± ۳/۸	۲۷/۳ ± ۲/۷
Inclination	[L1-16]-[Go-Me]	F38	۹۲/۹ ± ۲/۸	۹۲/۴ ± ۳	./.۰۶	۹۲/۵ ± ۳/۷	۹۴/۸ ± ۲/۷
<b>Maxilla to maxillary molar:</b>							
AP relationship to sella	S-DU6	F39	۲۹/۱/۰ ± ۴/۶	۲۹/۰ ± ۲/۵	./.۰۰۴**	۲۶/۹ ± ۴/۶	۲۸/۸ ± ۲/۴
AP relationship to post max margin	Ptm <sub>2</sub> -DU6	F40	۹/۰/۵ ± ۲/۸	۱۱/۱ ± ۳/۷	./.۰۰۴**	۸/۸ ± ۲/۹	۹/۵ ± ۲/۷
Vertical height from sella	S-DU6	F41	۶/۰/۴ ± ۲/۱	۶/۱/۰ ± ۲/۷	./.۱۲	۵/۵/۸ ± ۲/۹	۵/۷/۵ ± ۲/۶
<b>Maxilla to maxillary incisor</b>							
AP relationship to sella	S-U1	F42	۷۷/۴ ± ۵/۲	۷۵/۳ ± ۵/۱	./.۰۰۲**	۶۹/۵ ± ۴/۴	۷۴/۵ ± ۴/۳
Molar/ incisor separation	MU6-U1	F43	۳/۰/۱ ± ۲/۲	۳۳/۱/۰ ± ۲/۱	./.۰۰۱***	۲/۸/۱ ± ۲/۸	۲۹/۵ ± ۲/۶
Inclination in rel to ACB	[U1-14]-[S-N]	F44	۱۰/۴/۱ ± ۴/۵	۱۰/۵/۹ ± ۵/۲	./.۰۴*	۱۰/۲/۹ ± ۵/۲	۱۰/۴/۱ ± ۵/۳
<b>Facial depth</b>							
Upper	Ar-N	G45	۹/۰/۶ ± ۴/۸	۹/۲/۱ ± ۴/۶	./.۰۰۶**	۸/۷/۴ ± ۴/۷	۸/۹/۱ ± ۳/۸
Middle	Mid RmPt-A	G46	۲/۹/۱ ± ۳/۸	۸/۰/۰ ± ۴	./.۰۰۱***	۷/۲/۸ ± ۴/۴	۷/۳/۸ ± ۴/۸
Lower	30-Pog	G47	۸/۰/۰ ± ۴/۶	۷/۷/۵ ± ۵/۲	./.۰۰۱***	۷/۶/۹ ± ۴/۱	۷/۵/۱ ± ۴/۷
Total anterior height	N-Me	G48	۱۱/۴/۰ ± ۵/۴	۱۱/۵/۷ ± ۴/۸	./.۱۹	۱۱/۱/۷ ± ۵/۹	۱۱/۴/۷ ± ۵/۳
Upper anterior height	N-Pr	G49	۶/۷/۳ ± ۲/۸	۶/۸/۵ ± ۴/۴	./.۱۲	۶/۴/۸ ± ۴/۷	۶/۵/۵ ± ۴/۶
Lower anterior height	Pr-Me	G50	۴/۸/۸ ± ۲/۵	۵/۱/۶ ± ۴/۵	./.۰۰۱***	۴/۹/۹ ± ۴/۴	۴/۹/۵ ± ۴/۶
Total posterior height	S-Go	C51	۶/۷/۱ ± ۴/۲	۶/۶/۴ ± ۳/۸	./.۰۰۱***	۶/۴/۹ ± ۴/۷	۶/۵/۱ ± ۳/۷

\*  $P < 0.05$ , \*\*  $P < 0.01$ , \*\*\*  $P < 0.001$

## جدول ۵: میانگین و انحراف استاندارد مربوط به گروه های آزمون و شاهد پسر و دختر ۱۲ تا ۱۳ ساله

متغیر Number Cranial base	تعریف	شكل	پسر ۱۲-۱۳ سال				دختر ۱۲-۱۳ سال			
			گروه شاهد ۳۸	گروه آزمون ۷۷	مقدار P	گروه شاهد ۴۲	گروه آزمون ۸۳	مقدار P	گروه شاهد ۴۲	گروه آزمون ۸۳
Flexure (angle)	Ba-S-N	A1	۱۲۸/۰ ± ۴/۶	۱۳۰/۸ ± ۲/۲	<0.01***	۱۲۱/۵ ± ۵/۲	۱۳۱/۵ ± ۵/۱	<0.01**		
Total length	Ba-N	A2	۲۷۴ ± ۱/۷۵	۱۸۹ ± ۴/۶	<0.01**	۱۰۱/۴ ± ۴/۱	۱۰۴/۸ ± ۵/۲	<0.01**		
Anterior length	S-N	A3	۷۰/۸ ± ۲/۱	۷۲/۱ ± ۲/۱		۵۷/۵ ± ۲/۱	۶۹/۷ ± ۲/۱			
Posterior length	Ba-S	A4	۲۳۱/۱ ± ۲/۶	۲۵۲/۰ ± ۲/۶	<0.01**	۲۲۸/۱ ± ۲/۲	۲۲۸/۰ ± ۲/۰	<0.01**		
Saddle angle	N-S-Ar	A5	۱۲۲/۰ ± ۶	۱۲۲/۸ ± ۵/۳	<0.01**	۱۲۰/۷ ± ۴/۷	۱۲۷/۹ ± ۵/۱	<0.01**		
<b>Mandible</b>										
Overall length	Ar- Gn	B6	۱۰۶/۷ ± ۵/۲	۱۰۲/۷ ± ۵/۴	<0.01***	۱۰۰/۰ ± ۴/۷	۹۶/۳ ± ۴/۲	<0.01***		
Ramal height	Ar-GO	B7	۳۲/۱ ± ۲/۶	۳۹/۰ ± ۴/۱	<0.01***	۳۸/۸ ± ۳/۸	۳۶/۶ ± ۳/۷	<0.01***		
Corporal length	30-Pog	B8	۸۲/۹ ± ۴/۵	۷۸/۴ ± ۴/۶	<0.01***	۷۸/۶ ± ۴/۴	۷۵/۳ ± ۴/۲	<0.01***		
Ramo-Corporal angle	Ar-Go-Gn	A9	۱۲۸/۸ ± ۵/۲	۱۲۹/۰ ± ۴/۷	<0.01**	۱۲۸/۱ ± ۵/۲	۱۲۹/۰ ± ۵/۱	<0.01**		
Sympyseal height	Me-29	B10	۲۱/۹ ± ۴/۶	۲۴/۶ ± ۴/۲	<0.01***	۲۹/۷ ± ۴	۳۰/۶ ± ۳/۸	<0.01**		
<b>AP relationship to sella:</b>										
Posterior mandible	Ar-S	D11	۱۵/۷ ± ۲/۳	۱۷/۲ ± ۲/۸	<0.01**	۱۵/۲ ± ۴/۱	۱۶/۱ ± ۳/۸	<0.01**		
Anterior mandible	S-Pog	D12	۶۲/۱ ± ۴/۶	۵۸/۴ ± ۴/۱	<0.01***	۵۷/۸ ± ۴/۷	۵۹/۹ ± ۴/۲	<0.01***		
<b>Vertical relation to sella:</b>										
Posterior mandible	S-Go	D13	۷۵/۰ ± ۲/۷	۷۲/۶ ± ۲/۳	<0.01***	۶۸/۱ ± ۴/۳	۶۶/۴ ± ۳/۴	<0.01***		
Anterior mandible	S- Gn	D14	۱۰/۰/۸ ± ۵/۴	۱۰/۰/۸ ± ۵/۲	<0.01**	۱۱/۱/۰ ± ۵/۲	۱۲/۳/۶ ± ۵	<0.01**		
AP relationship of pog to ACB	S-N-Pog	D15	۷۹/۰ ± ۲/۱	۷۶/۰ ± ۲/۰	<0.01***	۷۸/۰ ± ۲/۰	۷۵/۰ ± ۲/۱	<0.01***		
AP relationship of point B to ACB	S-N-B	C16	۸/۰/۰ ± ۳/۰	۷/۷/۰ ± ۲/۰	<0.01***	۷/۹/۰ ± ۲/۰	۷/۷/۰ ± ۲/۰	<0.01***		
Slope in relation to ACB	[S-N]-[Go-Gn]	E17	۲۱/۰/۰ ± ۲/۰	۲۳/۰/۰ ± ۲/۰	<0.01***	۲۲/۰/۰ ± ۲	۲۲/۰/۰ ± ۲/۰	<0.01**		
Slope in relation to Frankfort plane	[Or-Po]-[Me-Go]	E18	۲۴/۰/۰ ± ۲	۲۷/۰/۰ ± ۲/۰	<0.01***	۲۲/۰/۰ ± ۲/۰	۲۳/۰/۰ ± ۲	<0.01**		
<b>AP relationship of point D to ACB</b>										
<b>Maxilla</b>										
<b>Overall length at the level of:</b>										
Orbit	Ptm <sub>1</sub> -Or	B20	۴۷/۰ ± ۲/۷	۴۶/۱ ± ۲/۱	<0.01**	۴۲/۷ ± ۲/۸	۴۳/۷ ± ۲/۱	<0.01**		
Palate	Ptm <sub>2</sub> -ANS	B21	۵۰/۴ ± ۲/۲	۵۷/۰ ± ۲/۰	<0.01***	۵۱/۸ ± ۲/۸	۵۲/۹ ± ۲/۸	<0.01**		
Alveolus	Max tub-Pr	B22	۵۲/۴ ± ۲/۱	۵۴/۰ ± ۲/۲	<0.01***	۴۸/۰ ± ۲/۷	۴۹/۹ ± ۲/۳	<0.01**		
Palato-alveolar height	Max-33	B23	۱۶/۲ ± ۱/۰	۱۶/۹ ± ۲/۰	<0.01**	۱۳/۹ ± ۲/۰	۱۴/۵ ± ۲/۱	<0.01**		
Sella to posterior margin of maxilla	S-Ptm <sub>2</sub>	C24	۱۷/۰/۰ ± ۲	۱۹/۰/۰ ± ۲/۰	<0.01**	۱۶/۰/۰ ± ۲/۰	۱۷/۱/۰ ± ۲	<0.01**		
Sella to anterior margin at midface	S-A	C25	۵۶/۰/۰ ± ۲/۰	۶۸/۰/۰ ± ۲/۰	<0.01**	۶۳/۰/۰ ± ۲/۰	۶۶/۰/۰ ± ۲/۰	<0.01**		
AP relation of midface to ACB	S-N-A	C26	۷۸ ± ۲/۰	۸۱/۰ ± ۲/۰	<0.01***	۷۹/۰ ± ۲	۸۱/۰ ± ۲/۰	<0.01***		
Mid facial convexity	N-A-Pog	D27	۳/۸ ± ۲/۰	۶/۴ ± ۴/۰	<0.01***	۴/۶ ± ۴/۰	۷/۶ ± ۴/۰	<0.01***		
AP relationship of key ridge to sella	S-Max	C28	۳/۹/۰ ± ۲/۰	۴/۰/۰ ± ۲/۰	<0.01**	۳/۹/۰ ± ۲/۰	۴/۰/۰ ± ۲	<0.01**		
AP relationship of key ridge to post max margin	PNS-Max	A29	۲/۲/۰ ± ۲/۰	۲/۴/۰ ± ۲/۰	<0.01**	۲/۱/۰ ± ۲/۰	۲/۲/۰ ± ۲/۰	<0.01**		
Length of anterior moiety of palate	Max-ANS	A30	۲۹/۰/۰ ± ۲/۰	۳۱/۰/۰ ± ۲/۰	<0.01***	۲۷/۰/۰ ± ۲/۰	۲۹/۰/۰ ± ۲/۰	<0.01***		
Slope of palate in relation to ACB	[S-N]-[PNS-ANS]	E31	۱۵/۰/۰ ± ۴/۰	۱۲/۰/۰ ± ۴/۰	<0.01***	۱۵/۰/۰ ± ۴/۰	۱۲/۰/۰ ± ۴/۰	<0.01***		
Palato mandibular plane angle	[PNS-ANS]-[Go-Gn]	E32	۲۲/۰/۰ ± ۲/۱	۲۴/۰/۰ ± ۲/۰	<0.01***	۲۲/۰/۰ ± ۲	۲۴/۰/۰ ± ۲/۰	<0.01**		
Maxilla- Mandible	ANB	C33	۱/۰/۰ ± ۲/۰	۵/۰/۰ ± ۲/۰	<0.01***	۱/۰/۰ ± ۲/۰	۴/۰/۰ ± ۲/۰	<0.01***		
<b>AP alveolar discrepancy</b>										
<b>Dentition</b>										
<b>Mandible to mandibular molar:</b>										
AP relationship to sella	S-DL6	D34	۲۲/۰/۰ ± ۲/۰	۲۲/۰/۰ ± ۲/۰	<0.01**	۲۲/۰/۰ ± ۴/۰	۲۱/۰/۰ ± ۴/۰	<0.01**		
AP relationship to mid-ramal margin	Mid RmPt-DL6	B35	۴۰/۰/۰ ± ۴/۰	۴۳/۰/۰ ± ۵/۰	<0.01**	۴۱/۰/۰ ± ۴/۰	۴۰/۰/۰ ± ۵/۰	<0.01**		
<b>Mandible to mandibular incisor</b>										
AP relationship to mid- ramal margin	Mid RmPt-L1	A36	۸/۰/۰ ± ۲/۰	۸/۰/۰ ± ۲/۰	<0.01**	۷/۷/۰ ± ۴/۰	۷/۷/۰ ± ۴/۰	<0.01**		
Molar/incisor separation	ML6-L1	B37	۲/۰/۰ ± ۲/۰	۲/۰/۰ ± ۲/۰	<0.01**	۲/۰/۰ ± ۲/۰	۲/۰/۰ ± ۲/۰	<0.01**		
Inclination	[L1-16]-[Go-Me]	F38	۹/۰/۰ ± ۲/۰	۹/۴/۰ ± ۲/۰	<0.01***	۹/۲/۰ ± ۲/۰	۹/۴/۰ ± ۲/۰	<0.01**		
<b>Maxilla to maxillary molar:</b>										
AP relationship to sella	S-DU6	F39	۲۱/۰/۰ ± ۲	۲۴/۰/۰ ± ۲/۰	<0.01***	۲۹/۰/۰ ± ۲/۰	۲۰/۰/۰ ± ۲/۰	<0.01**		
AP relationship to post max margin	Ptm <sub>2</sub> -DU6	F40	۱/۰/۰ ± ۲/۰	۱/۰/۰ ± ۲/۰	<0.01***	۷/۰/۰ ± ۲	۱/۱/۰ ± ۲/۰	<0.01***		
Vertical height from sella	S-DU6	F41	۶/۰/۰ ± ۲/۰	۶/۰/۰ ± ۲/۰	<0.01***	۵/۰/۰ ± ۲/۰	۵/۰/۰ ± ۲/۰	<0.01***		
<b>Maxilla to maxillary incisor</b>										
AP relationship to sella	S-U1	F42	۷/۰/۰ ± ۵/۰	۷/۰/۰ ± ۴/۰	<0.01***	۷/۰/۰ ± ۵	۷/۰/۰ ± ۴/۰	<0.01***		
Molar/ incisor separation	MU6-U1	F43	۲/۰/۰ ± ۲/۰	۲/۰/۰ ± ۲/۰	<0.01***	۲/۰/۰ ± ۲/۰	۳/۰/۰ ± ۲/۰	<0.01***		
Inclination in rel to ACB	[U1-14]-[S-N]	F44	۱/۰/۰ ± ۵/۰	۱/۰/۰ ± ۵	<0.01**	۱/۰/۰ ± ۶	۱/۰/۰ ± ۵/۰	<0.01**		
<b>Facial depth</b>										
Upper	Ar-N	G45	۹/۰/۰ ± ۰/۱	۸/۰/۰ ± ۰/۰	<0.01**	۸/۰/۰ ± ۰/۰	۹/۰/۰ ± ۰/۰	<0.01**		
Middle	Mid RmPt-A	G46	۸/۰/۰ ± ۰/۰	۷/۰/۰ ± ۰/۰	<0.01**	۷/۰/۰ ± ۰/۰	۷/۰/۰ ± ۰/۰	<0.01**		
Lower	30-Pog	G47	۸/۰/۰ ± ۰/۰	۸/۰/۰ ± ۰/۰	<0.01**	۸/۰/۰ ± ۰/۰	۸/۰/۰ ± ۰/۰	<0.01**		
Total anterior height	N-Me	G48	۱۲/۰/۰ ± ۰/۰	۱۲/۰/۰ ± ۰/۰	<0.01***	۱۱/۰/۰ ± ۰	۱۲/۰/۰ ± ۰/۰	<0.01***		
Upper anterior height	N-Pr	G49	۷/۰/۰ ± ۰/۰	۷/۰/۰ ± ۰/۰	<0.01**	۶/۰/۰ ± ۰	۶/۰/۰ ± ۰/۰	<0.01**		
Lower anterior height	Pr-Me	G50	۵/۰/۰ ± ۰/۰	۵/۰/۰ ± ۰/۰	<0.01**	۴/۰/۰ ± ۰/۰	۵/۰/۰ ± ۰/۰	<0.01**		
Total posterior height	S-Go	C51	۷/۰/۰ ± ۰/۰	۷/۰/۰ ± ۰/۰	<0.01**	۶/۰/۰ ± ۰/۰	۶/۰/۰ ± ۰/۰	<0.01**		

\*  $P < 0.05$  \*\*  $P < 0.01$  \*\*\*  $P < 0.001$

## بحث

طول تنہ ی مندیبل در افراد دچار مال اکلوژن نسبت به افراد طبیعی، در سنین بالاتر تشیدید می شود. در حالی که بیشارا (Bishara) (۱۹۹۸)، کوچک تر بودن طول مندیبل را محدود به مراحل آغازین تکامل دانسته و در مراحل بالاتر تکامل، تفاوتی خاص در هیچ یک از معیارهای مندیبل بین گروه نرمال و مال اکلوژن کلاس دو زیرگروه یک مشاهده نکرد.<sup>(۳)</sup> در پژوهش روتشتاین (Rothestein) و یون (Yoon) (۲۰۰۰)<sup>(۴)</sup> نیز، مندیبل و دندان های آن از لحاظ اندازه، شکل و موقعیت، بجز موقعیت ثانیای مندیبل، در گروه های پسر همانند گروه طبیعی هستند. در حالی که، در بررسی کنونی، افزون بر پروتروژن شنایا (به دلیل افزایش زاویه ای IMPA)، کاهش اندازه ی مندیبل و رتروژن آن مشاهده می گردد.

بررسی ماز (Maj) و همکاران (۱۹۶۰)، نشان داد، که طول مندیبل در ۹۶ درصد افراد کلاس دو زیرگروه یک همانند افراد طبیعی است و علت ایجاد مال اکلوژن، موقعیت مندیبل و ارتباط غیر عادی آن با ماقریلاست.<sup>(۵)</sup> اما بر پایه ی نتایج این بررسی، هر دو مورد (اندازه و موقعیت مندیبل) در ایجاد این مال اکلوژن مؤثر هستند.

نتایج این بررسی با بررسی جیمز (James) (۱۹۶۳)، قابل مقایسه است، که افزون بر رتروژن مندیبل و کوچک تر بودن زاویه ی SNB، بلندی باudde ی جمجمه (Ba-N) و افزایش زاویه ی Ba-S-N را گزارش کرد. زیرا، در این بررسی نیز، افزایش اندازه های یاد شده مشاهده گردید.<sup>(۶)</sup> یکی دیگر از عوامل ایجاد کننده مال اکلوژن کلاس دو زیرگروه یک، بزرگ تر بودن ماقریلا در این افراد است، که به علت افزایش طول ماقریلا در ناحیه اربیت، کام و استخوان آلوئول در سنین بالاتر است. نکته قابل توجه، افزایش بیشتر طول ماقریلا در بخش استخوان آلوئول است. به سخنی دیگر، با تزدیک شدن به سمت دندان ها، پروتروژن ماقریلا افزایش می یابد. این نتیجه قابل مقایسه با بررسی روتشتاین (۲۰۰۰) است، که افزایش طول قاعده ی جمجمه، پروتروژن ماقریلا و دندان های آن نیز، شب به سمت بالای نیمه ی جلویی

مال اکلوژن کلاس دو زیرگروه یک می تواند دارای سرچشمہ ی دندانی یا استخوانی یا هر دو باشد. بر این پایه مویز (Moyers) و همکاران (۱۹۸۰)، این مال اکلوژن را به یازده زیر گروه بخش کردند.<sup>(۷)</sup> نتایج متفاوت به دست آمده از بررسی های مربوط به ویژگی های دندانی - استخوانی این دسته از بیماران، می تواند به علت عواملی گوناگون، مانند استفاده از نمونه های مختلط سنی و جنسی، تفاوت های نژادی و قبیله ای، کیفیت نامطلوب فیلم های پرتونگاری، کوچکی اندازه ی نمونه ها و شمار کم مقایسه های میان گروهی باشد. با این وجود، از یافته های گوناگون، شماری منابع استاندارد حاصل شده است، که درمانگران برای ارزیابی بیماران، تشخیص آنان از افراد طبیعی و نیز، به عنوان یک راهنمای برای طرح درمان، از آنها استفاده می کنند.

بررسی انجام شده بر روی کودکان ۸ تا ۱۳ ساله ای استان فارس، که به مال اکلوژن کلاس دو زیرگروه یک دچار هستند، در مقایسه با افراد طبیعی نشان می دهد، که در ایجاد این مال اکلوژن، مجموعه ای از مشکلات استخوانی و دندانی دخالت دارند. در مقایسه ای تعییرات استخوانی سر و چهره ی افراد دارای این ناهنجاری (کلاس دو زیرگروه یک) نسبت به افراد طبیعی، موارد زیر مشاهده گردید:

مفصل شدن مندیبل در موقعیتی عقب تر به قاعده ی جمجمه، که این نتیجه قابل مقایسه با بررسی کر (Kerr) و همکاران (۱۹۹۴)<sup>(۸)</sup> است، به علت افزایش زاویه ی Ba-S-N در همه ی زیر گروه ها (Miller) و N-S-Ar در بیشتر زیر گروه هاست. میلر (۱۹۹۴)، علت اصلی این مال اکلوژن را در کودکان ۱۰ ساله، کوتاه تر بودن تنہ ی مندیبل و بزرگ تر بودن زاویه ی گونیال بیان کرد.<sup>(۹)</sup> اما در بررسی کنونی تعییرات زاویه ی گونیال در هیچ یک از زیر گروه ها معنادار نبوده و مشکلات نیز، تنها به علت کوتاهی تنہ ی مندیبل نیست. کاهش طول مندیبل در همه ی ابعاد، از دیگر عوامل ایجاد کننده ی کلاس دو زیرگروه یک است. نتایج نشان می دهد، که اختلاف

وجود نداشت<sup>(۱۰)</sup>، در حالی که، در بیماران بررسی شده در استان فارس، این مشکل وجود دارد. تغییرات اندازه‌ها نشان می‌دهد، که مشکلات عمودی چهره به ویژه در زیر گروه های پسر، بیشتر بوده و با افزایش سن تشدید می‌شود.

#### پیشنهادها

- ۱- استفاده از ویژگی‌های سفالومتری بیماران کلاس دو زیر گروه یک، به عنوان گروه شاهد در پژوهش‌هایی که به بررسی اثر روش‌های درمانی گوناگون می‌پردازد، امکان پذیر است. استفاده از جدول‌های ارایه شده در مقاله، سبب حذف گروه شاهد در آن بررسی‌ها و آسانی بررسی‌های بعدی می‌گردد.
- ۲- اندازه‌های طولی و زاویه‌ای ارایه شده در جدول‌ها می‌تواند در بررسی‌های رشدی گروه‌های ۸ تا ۱۳ ساله مورد استفاده قرار گیرد.

#### نتیجه‌گیری

- طول کلی قاعده‌ی جمجمه در افراد کلاس دو زیر گروه یک افزایش داشته است، که این افزایش، به علت بزرگ‌تر بودن بخش جلویی جمجمه است. این مساله می‌تواند یکی از عوامل اثر کننده در ایجاد مال اکلوژن کلاس دو زیر گروه یک باشد.
- مندیبل از لحاظ اندازه (طول و ارتفاع) در بیشتر زیر گروه‌ها، کوچک تراز گروه شاهد و از لحاظ موقعیت، به عقب بودن (رتروژن) دچار بوده است.
- طول مانگزیلا در ناحیه‌ی کام و آلوئول نسبت به گروه شاهد افزایشی چشمگیر داشته است و با افزایش سن، جلوzdگی بیشتر مشاهده گردید.
- دندان‌های مولر و ثانیای بالا جلوzdتر از گروه طبیعی بود.
- افزایش اندازه در بخش‌های جلویی و میانی چهره از بعد جلویی- پشتی و کاهش طول در بخش پایینی تنہ‌ی مندیبل، سبب افزایش تحبد چهره در افراد کلاس دو زیر گروه یک شده است.
- الگوی رشد عمودی استخوانی چهره در بیشتر زیر گروه‌های کلاس دو زیر گروه یک مشاهده گردید.

کام را نشان داد<sup>(۱۰)</sup>. افزایش زاویه‌های SNA در زیرگروه‌های دختر و پسر ۱۲ تا ۱۳ ساله و افزایش زاویه‌ی N-A-Pog و طول قاعده‌ی جلویی جمجمه- S(N) در بیشتر زیرگروه‌ها نیز، نشان‌دهنده‌ی افزایش طول مانگزیلا و پروتروژن آن است. با توجه به افزایش اندازه‌ی Max-ANS و تغییر نکردن معیارهای S-Max و PNS-Max بر روی محور X نیز، می‌توان نتیجه‌گیری کرد، که بزرگ‌ی مانگزیلا در این امر، بیشتر به افزایش اندازه در نیمه جلویی کام مربوط است.

از دیگر تغییرات در این مال اکلوژن، کاهش شبک کام نسبت به قاعده‌ی جمجمه و افزایش ارتفاع در بخش پشتی، مانگزیلا و افزایش زاویه‌ی بازالت (Basal plane) بوده، که این موارد، نشان‌دهنده‌ی چرخش بخش جلویی کام به سمت بالا و چرخش بخش پشتی آن به سمت پایین است. نتایج نشان می‌دهد، که چرخش مندیبل در زیر گروه‌های دختر، وجود نداشته و تنها کام به سمت بالا چرخش یافته است. این چرخش بخش جلویی کام حول نقطه‌ی مانگزیلون (Maxillon) رخ داده است. از سویی از افزایش اندازه در بخش جلویی چهره با توجه به بالاتر بودن موقعیت ANS می‌توان نتیجه گرفت، که این افزایش به بخش آلوئولار مانگزیلا در بخش جلویی مربوط است، که در افراد دچار مال اکلوژن کلاس دو زیر گروه یک در نمای بالینی، به صورت لبخند لشه‌ای (Gummy smile) نمایان می‌گردد.

افزایش فاصله‌ی دندان مولر اول تا لبه‌ی پشتی مانگزیلا، در دندان‌های بالا بیانگر حرکت مزیالی دندان مولر اول بالا و افزایش فاصله‌ی نقطه‌ی S تا ثانیای میانی و افزایش شبک دندان‌های ثانیای بالا نسبت به قاعده‌ی جمجمه در بیشتر زیر گروه‌ها، نشان‌دهنده‌ی پروتروژن دندان‌های سانترال است، اما چون افزایش فاصله‌ی دندان‌های ثانیای تا مزیال دندان‌های مولر اول بیشتر از افزایش دیستال دندان مولر اول تا لبه‌ی پشتی مانگزیلاست، می‌توان چنین نتیجه گرفت، که میزان پروتروژن دندان سانترال از حرکت مزیالی مولر اول بیشتر بوده است.

**الگوی رشد عمودی چهره در افراد پژوهش‌رونشتاین**

سپاسگزاری

پزشکی شیراز، که امکان انجام این پژوهش را فراهم  
آورده، سپاسگزاری می‌گردد.

به این وسیله، از معاونت پژوهشی دانشگاه علوم

\*\*\*\*\*

## References

- Pancherz H, Ziber K, Hoyer B. Cephalometric characteristics of class II division 2 malocclusions: A comparative study in children. Angle Orthod 1997; 67: 111-120.
- Bishara SE. Mandibular change in persons with untreated and treated class II division I malocclusion. Am J Orthod Dentoface Orthop 1998; 113: 661-673.
- Pfeiffer JP, Grobety D. The class II malocclusion, differential diagnosis and clinical application of activators, extraoral traction and fixed appliance. Am J Orthod Dentofacial Orthop 1975; 68: 499-544.
- Pea, Mckena GA, Sheeha TJ, Garcia R, Kuhlberg A, Nanda R. Role of lateral cephalograms in assessing severity and difficulty of orthodontics cases. Am J Orthod Dentofacial Orthop 2001; 120: 255-262.
- Rubin R. Making sense of cephalometric [editorial]. Angle Orthod 1997; 78: 477-404.
- Demetrios JH. Computer-assisted cephalometric analysis. Am J Orthod Dentofacial Orthop 1994; 105: 517-521.
- Angle EH. Classification of Malocclusion. Dent Casmos 1899; 4: 248-264.
- McNamara JA. Components of class II malocclusion in children 8-10 years of age. Angle Orthod 1981; 51: 177-202.
- Kerr WJS, Miller S, Ayme B, Wilhelm N. Mandibular form and position in 10 year old boys. Am J Orthod Dentofacial Orthop 1994; 106: 115-120.
- Rotheastein T, Yoon- Tarlie C. Dental and facial skeletal characteristics and growth of males and females with class II, division 1 malocclusion between the ages of 10 and 14 (revised)- part 1: characteristics of size, form and position. Am J Orthod 2000; 117: 320-332.
- Moyers R, Riolo ML, Guire KE, Wainright RL, Bookstein FL. Differential diagnosis of Class II malocclusion. Am J Orthod 1980; 78: 477-404.
- Maj G, Luzi c, Lucchese PA. Cephalometric apprasal of class II and class III malocclusion. Angle Orthod 1960; 30: 26-32.
- James GA. Cephalometric analysis of 100 angle class II division I malocclusions with special reference to the cranial base. Dent Pract 1963; 14: 35-46.

---

**Abstract**

---

**Dento-Skeletal Characteristics of 8-13 Year-old Boys and Girls with Class II Division 1 Malocclusion in Fars Province; a Cephalometric Study****Salehi P.\* - Momeni Danaei Sh.\***

\*Assistant Professor, Department of Orthodontics, School of Dentistry, Shiraz University of Medical Sciences

**Statement of Problem:** The dentoskeletal characteristics of the Class II Division 1 patients dictate their treatment plan and mechanotherapy.

**Purpose:** This study was undertaken to describe the dentofacial characteristics of this type of malocclusion in 8-13 year-old children in Fars Province.

**Materials and Method:** The materials examined included 693 lateral head radiographs comprising two series of 213 films of normal occlusion children and 480 films of Class II Division 1 patients referred to Orthodontic Department of Shiraz Dental School, taken during the years 2002 to 2004. The controls and the Class II Division 1 subjects were each divided into three groups according to age including 10-11, 12-13 and 14-15 and then divided into two subgroups according to gender. The radiographs were converted into computer-readable X and Y coordinate data and 36 linear and 15 angular measurements in the cranial base, maxilla, mandible and dentition, were provided (based on 35 points) and compared.

**Results:** The statistical analysis showed that the anterior cranial base was larger and more protrusive, with an increase in cranial base angle compared with controls. The mandible was smaller and its form and position was different from controls whereas, the maxilla (at the level of palate and alveolus) and the dentition were protrusive. The palate was inclined superiorly at its anterior half. The vertical maxillary excess and the increase of mid-facial convexity were visible.

**Conclusion:** Various factors ranging from mandibular deficiency to maxillary protraction with different dental configurations were responsible for the presence of Class II Division 1 malocclusion in our patients.

**Key words:** Class II Division 1, Malocclusion, Dentofacial, Children, Fars Province

*Shiraz Univ. Dent. J. 2006; 6(3,4): 34-46*

---